

NOTAS SÔBRE O GÊNERO *ATHESMIA* LOOSS, 1899

(TREMATODA, DICROCOELIIDAE) (1)

(Com 4 figuras)

J. F. TEIXEIRA DE FREITAS

Instituto Oswaldo Cruz, Rio de Janeiro, Guanabara

TRAVASSOS, em sua magnífica monografia "Revisão da família Dicrocoeliidae Odhner, 1910", ao estudar o gênero *Athesmia* Looss, 1899 (sin.: *Lyperotrema* Travassos, 1919; *Hepatotrema* Stunkard, 1923), diz à página 232:

"Pela análise dos diversos caracteres dos parasitos descritos no gênero *Athesmia* não é possível distinguir as diversas espécies, salvo *A. wheri* e *parkeri* que têm o corpo relativamente mais largo. Resta como único recurso para a distinção das espécies a distribuição geográfica e a diversidade de hospedadores, caracteres aliás péssimos, caracteres de rótulo. Sem melhores estudos e principalmente sem pesquisas experimentais sobre a evolução, não é possível distingui-las de modo nítido. Deste modo tomamos como critério de separação a distribuição geográfica em sentido muito amplo e os hospedadores, quando de grupos zoológicos muito diversos".

"Assim consideramos sómente como boas as seguintes espécies: *heterolecithodes*, parasitos de aves do Velho Mundo; *rudecta*, parasitos de aves neotrópicas (= *attilae*, *pricei* e *butensis*); *foxi*, parasito de mamíferos sul-americanos; *wheri*, parasito de aves neoárticas e de corpo relativamente largo; *parkeri*, parasito de *Chiroptera*, de corpo largo".

Logo a seguir acrescenta:

"De *rudecta* estudamos abundante material de vários hospedadores concluindo por serem tôdas as amostras idênticas. Admitimos que *foxi* seja igualmente idêntica à *rudecta*, mas não tendo examinado material de *Cebus* julgamos útil mantê-la separada. Quanto à *pricei*, de ave amazônica, não tivemos dúvida em identificar. *A. butensis*, de ave falconiforme de Galápagos, também consideramos idêntica".

No segundo semestre de 1959, ao examinarmos lâminas da Coleção Adolpho Lutz, que está sendo por nós organizada e incluída na Coleção Helmintológica do Instituto Oswaldo Cruz, encontramos alguns espécimes de um trematódeo pertencente ao gênero *Athesmia* Looss, 1899, que haviam sido colhidos em vesícula biliar de *Procyon cancrivorus* Cuv. (carnívoro), em Lassance, Estado de Minas Gerais, Brasil. Esses exemplares, embora morfológicamente idênticos à *Athesmia rudecta* (Braun, 1901), deveriam ser determinados como *A. foxi* Goldberger & Crane, 1911, por serem parasitos de mamífero sul-americano.

Em julho de 1960 tivemos oportunidade de examinar espécimes de *Athesmia* colhidos em fígado de *Chiropotes albinasa* (I. Geoff. & Dev.) (primata) pelo Professor TRAVASSOS, em Cachimbo, Estado do Pará, Brasil. Esses exemplares, morfológicamente idênticos à *A. rudecta*, deveriam, como as anteriores, ser considerados como *A. foxi*, por serem, também, parasitos de mamífero sul-americano.

O estudo mais detalhado dessas duas amostras evidenciou serem elas constituídas de espécimes de corpo relativamente largo, o que os aproxima de *Athesmia heterolecithodes* (Braun, 1899), parasito

(1) Trabalho do Instituto Oswaldo Cruz realizado com auxílio do Conselho Nacional de Pesquisas.

de aves do Velho Mundo. Confirmam elas, assim, o que dissera TRAVASSOS, em 1944, ao referir-se à distribuição geográfica e à diversidade de hospedadores como péssimos caracteres (caracteres de rótulo) para a distinção das espécies.

Considerando representarem os *Dicrocoeliidae* um grupo de trematódeos no qual não existe especificidade para o hospedador definitivo e, no caso do gênero *Athesmia*, serem as espécies indistinguíveis morfológicamente, julgamos acertado considerá-las idênticas, ficando, assim, o gênero de Looss com uma só espécie, *A. heterolecithodes* (Braun, 1899) Looss, 1899, parasita de aves e mamíferos de grupos variados, com ampla distribuição geográfica, praticamente cosmopolita.

À *A. heterolecithodes* deve ser identificada, também, a espécie descrita por SCHELL em 1957 sob o nome de *Athesmia jolliei*, parasita de vesícula biliar de *Falco sparverius* L., em Cassia County, Idaho, U.S.A. As diferenças assinaladas por esse autor carecem de valor, pois, além de serem variáveis, foram observadas em espécimes não comprimidos (ou pouco comprimidos), como evidencia nitidamente a figura publicada.

Daremos a seguir a descrição dos espécimes parasitos de *Chiropotes albinasus* (I. Geoff. & Dev.) por nós estudados.

Athesmia heterolecithodes (Braun, 1899) Looss, 1899.

Corpo alongado, com 7,07 a 9,61 mm de comprimento por 1,17 a 1,47 mm de maior largura. Cutícula com pequenas papilas dispostas irregularmente. Extremidades atenuadas. Ventosa oral subterminal, com 0,33 a 0,35 mm de comprimento por 0,28 a 0,38 mm de largura. Acetábulo pré-equatorial, com 0,30 a 0,33 mm de comprimento por 0,31 a 0,35 mm de largura. A relação entre o acetábulo e a ventosa oral varia de 1:0,94 a 1:1,11. Faringe presente, musculosa, com 0,083 a 0,100 mm de comprimento por 0,100 a 0,116 mm de largura. Esôfago delgado, com 0,28 a 0,65 mm de comprimento. Cecos

Col. Helm. I.O.C. n.º

Comprimento

Largura

Ventosa oral

Acetábulo

Relação acetábulo/ventosa oral

Faringe

Esôfago

Bôlsa do cirro

Testículo anterior

Testículo posterior

Ovário

Espermateca

Ovos

Campo vitelínico

Vitelinos à extremidade posterior

Cecos intestinais à extremidade posterior

QUADRO I

Athesmia heterolecithodes (Braun, 1899) Looss, 1899Espécimes parasitos de *Chiropotes albinasa*
(I. Geoff. & Dev.)

(Medidas em milímetros)

26.968a	26.968b	26.968c	26.968d
9,61	7,07	8,24	8,34
1,47	1,44	1,17	1,27
0,33	0,33	0,35	0,35
x	x	x	x
0,36	0,28	0,33	0,38
0,31	0,30	0,31	0,33
x	x	x	x
0,31	0,35	0,31	0,33
1:1,11	1:0,94	1:1,09	1:1,10
0,100	0,083	0,083	0,083
x	x	x	x
0,116	0,100	0,116	0,100
0,65	0,30	0,28	0,30
0,50	0,31	0,38	0,33
x	x	x	x
0,13	0,15	0,17	0,18
0,80	0,60	0,70	0,67
x	x	x	x
0,84	0,74	0,87	0,77
0,84	0,67	0,87	0,74
x	x	x	x
0,87	0,80	0,87	0,94
0,37	0,27	0,30	?
x	x	x	
0,47	0,54	0,37	
0,066	0,201	0,166	?
x	x	x	
0,083	0,268	0,332	
0,029	0,027	0,034	0,036
x	x	x	x
0,021	0,021	0,019	0,029
1,84	1,47	2,01	2,31
3,22	2,38	2,04	2,18
2,51	1,14	1,27	1,84
2,24			

intestinais finos, longos, estendendo-se até 1,14 a 2,51 mm da extremidade posterior do corpo, às vezes terminando em níveis diferentes. Poro genital imediatamente pós-bifurcal. Bôlsa do cirro pré-acetabular, com 0,31 a 0,50 mm de comprimento por 0,13 a 0,18 mm de largura; contém vesícula seminal enovelada, região prostática e cirro. Testículos pós-acetabulares, pré-equatoriais, pré-ovarianos, intra-cecais, profundamente lobados, com zonas afastadas ou quase em contato e campos quase totalmente coincidentes; são separados por alças do ramo ascendente do útero. O testículo anterior mede 0,60 a 0,80 mm de comprimento por 0,74 a 0,87 mm de largura; entre sua zona e a zona acetabular existem alças uterinas do ramo ascendente. O testículo posterior mede 0,67 a 0,87 mm por 0,80 a 0,94 mm; entre sua zona e a zona ovariana existem alças do ramo ascendente do útero. Ovário mais ou menos lobado, pós-testicular, levemente pré-equatorial, deslocado lateralmente, intra-cecal, no campo do testículo posterior; mede 0,27 a 0,37 mm de comprimento por 0,37 a 0,54 mm de largura. Glândula de Mehlis imediatamente pós-ovariana, de contorno pouco nítido. Espermateca presente, pós-ovariana; mede 0,066 a 0,201 mm de comprimento por 0,083 a 0,332 mm de largura. Canal de Laurer presente, pouco nítido. Útero constituído por um ramo descendente, que, formando alças transversais, dirige-se para a extremidade posterior do corpo, e um ramo ascendente, que, formando alças transversais, dirige-se para diante, até o poro genital, insinuando-se entre os vitelinos e o ovário, entre esta glândula e o testículo posterior, entre este e o testículo anterior, depois invadindo a área acetabular. Ovos de casca lisa, com coloração parda escura; são operculados e medem 0,027 a 0,036 mm de comprimento por 0,019 a 0,025 mm de largura. Vitelinos constituídos por folículos unilaterais, extra-cecais, cecais e intra-cecais, parcialmente no campo do testículo anterior; iniciam-se imediatamente abaixo da zona ovariana, em campo oposto ao dessa glândula e terminam a 2,04 a 3,22 mm da extremidade posterior do corpo; seu campo possui um comprimento de 1,47 a 2,31 mm. Poro excretor terminal. Vesícula excretora simples, delgada e longa; sua porção proximal é geralmente oculta pelas alças uterinas que ocupam a área pós-ovariana do corpo.

QUADRO II

Athesmia heterolecithodes (Braun, 1899) Looss, 1899Espécimes parasitos de *Procyon cancrivorus* Cuv.

(Medidas em milímetros)

Col. Helm. I.O.C. n.º		17.509	
Comprimento		8,31	
Largura		1,07	
Ventosa oral		0,41 x 0,45	
Acetáculo		0,33 x 0,35	
Relação acetáculo/ventosa oral		1:1,35	
Faringe		0,066 x 0,100	
Esôfago		0,41	
Bôlsa do cirro		0,33 x 0,10	
Testículo anterior		0,40 x 0,54	
Testículo posterior		0,43 x 0,43	
Ovário		0,23 x 0,40	
Espermateca		0,083 x 0,166	
Ovos	0,034 x 0,021	0,038 x 0,025	0,029 x 0,021
Campo vitelínico		1,84	
Vitelinos à extremidade posterior		2,38	
Cecos intestinais à extremidade posterior		0,87	

17.503	17.503	17.504	17.505
9,45	6,50	7,20	7,20
1,10	1,01	1,44	1,17
0,45 x	0,31 x	0,35 x	0,28 x
0,46	0,30	0,35	0,26
0,33 x	0,27 x	0,28 x	0,26 x
0,40	0,30	0,35	0,31
1:1,24	1:1,29	1:1,11	1:0,94
0,066 x	0,061 x	0,066 x	0,066 x
0,116	0,078	0,100	0,083
0,56	0,27	0,21	0,33
0,45 x	0,27 x	0,35 x	0,25 x
0,13	0,10	0,13	0,15
0,40 x	0,37 x	0,37 x	0,33 x
0,54	0,47	0,67	0,54
0,30 x	0,33 x	0,33 x	0,33 x
0,57	0,43	0,60	0,54
0,20 x	0,13 x	0,17 x	0,13 x
0,54	0,40	0,50	0,57
?	0,052 x 0,087	0,100 x 0,116	?
0,035 x	0,038 x	0,035 x	0,040 x
0,021	0,025	0,023	0,023
2,18	1,47	1,41	1,17
2,95	2,01	2,34	2,34
0,97	1,01	1,01	1,01

Habitat — Fígado de *Chiropotes albinasa* (I. Geoff. & Dev.).

Proveniência — Cachimbo, Estado do Pará, Brasil.

No Quadro I damos as principais medidas de quatro espécimes; no Quadro II referimos as medidas de cinco exemplares parasitos de *Procyon cancrivorus* Cuv.

Material estudado — Depositado na Coleção Helmintológica do Instituto Oswaldo Cruz sob os números 17.503, 17.504, 17.505, 17.506, 17.508, 17.509, 21.015, 21.019 e 26.968a-d.

Organizamos um quadro comparativo (Quadro III) das principais medidas existentes nas várias descrições, baseando-nos

na excelente obra de TRAVASSOS; este quadro mostra, objetivamente, as variações que podem ocorrer, documentando nosso conceito.

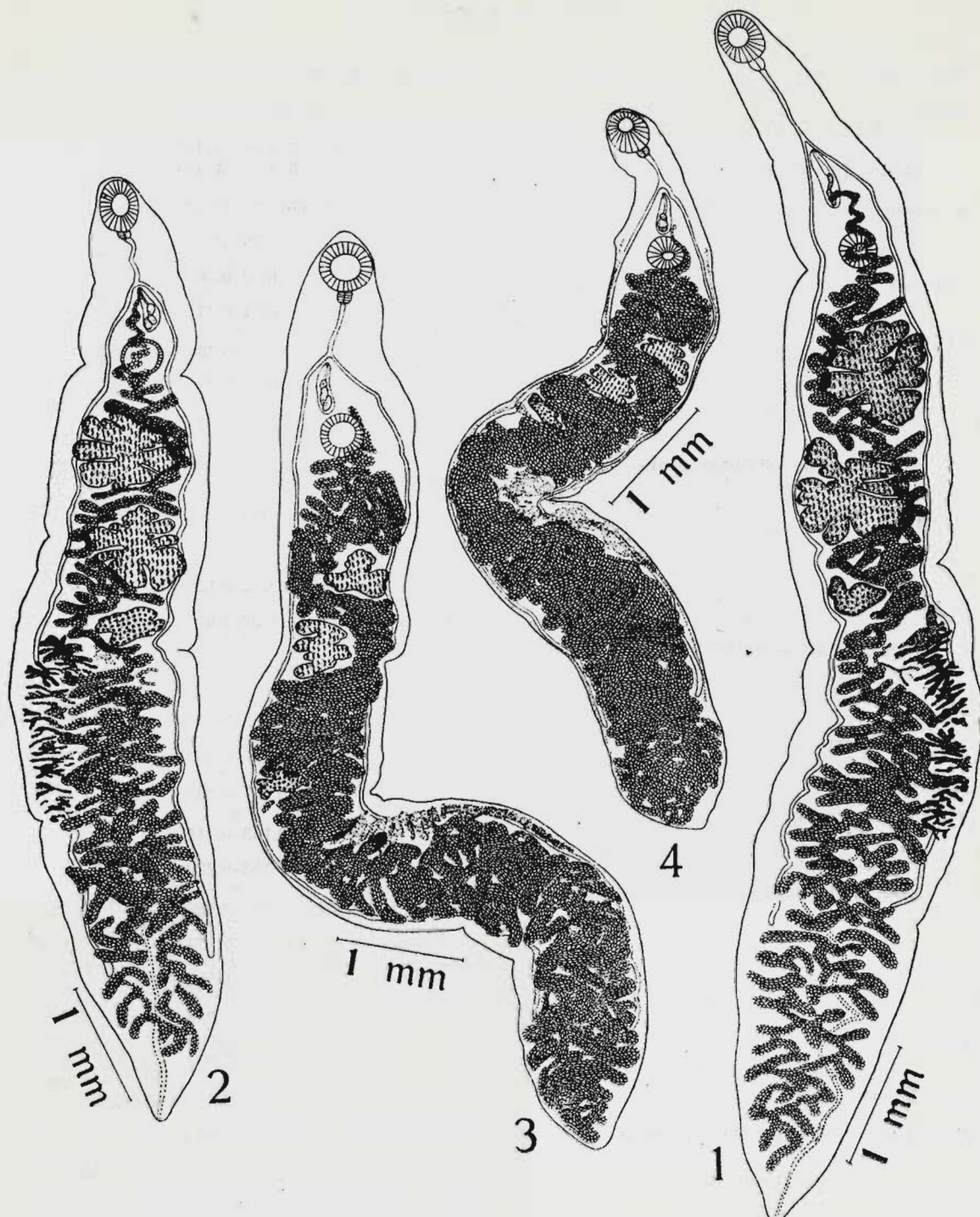
BIBLIOGRAFIA

SCHELL, S.C.

1957 — *Dicrocoeliidae from birds in the Pacific Northwest. Trans. Amer. Micr. Soc.*, 76(2):184-188, 6 figs.

TRAVASSOS, L.

1944 — Revisão da família *Dicrocoeliidae* Odhner, 1911. *Monogr. Inst. Oswaldo Cruz*, 2:VII + 357 pp., 124 ests., 492 figs.



Athesmia heterolecithodes (Braun, 1899), total — Figs. 1-2: Espécimes parasitos de *Chiropotes albinasa* (L. Geoff. & Dev.) (Coleção Helmintológica do Instituto Oswaldo Cruz números 26.968a e 26.968b, respectivamente); figs. 3-4: espécimes parasitos de *Procyon cancrivorus* Cuv. (Coleção Helmintológica do Instituto Oswaldo Cruz números 17.509 e 17.503, respectivamente).
Figuras originais.

QUADRO III
Athesmia heterolecithodes (Braun, 1899) Looss, 1899
 (Medidas em milímetros)

Sinonímia	<i>A. rudentata</i> (Braun, 1901)
Autor	Travassos, 1944
Col. Helm. I.O.C. n.º	3.450, 3.451 3.452, 3.454
Autópsia	2.440, 2.141, 2.437
Comprimento	2,29-5,21
Largura	0,52-0,58
Ventosa oral	0,24-0,27 x 0,19-0,23
Acetáculo	0,21-0,27 x 0,23-0,27
Relação acetáculo/ventosa oral	1:1-1:1,08
Faringe	0,060-0,091
Esôfago	0,053-0,129
Cecos intestinais à extremidade posterior	0,98-1,61 0,92-1,28
Bôlsa do cirro	0,152-0,212 x 0,060-0,091
Testículo anterior	0,107-0,229 x 0,153-0,214
Testículo posterior	0,153-0,229 x 0,107-0,153
Ovário	0,183-0,214 x 0,107-0,229
Ovos	0,031-0,038 x 0,019-0,024
Campo vitelínico	0,92-1,44
Vitelinos à extremidade posterior	1,38-2,48
Hospedador	<i>Jacana spinosa jacana</i> (L.)

Distribuição geográfica

S. João, Estado de Mato Grosso, Brasil

(*) As medidas entre parênteses são do presente trabalho.

A. attilae Travassos, 1917

Travassos, 1944

1.429, 1.430

528

2,93-4,14

0,42-0,52

0,220-0,318

0,182-0,266

1:1,11-1:1,52

0,076-0,082

0,121-0,342

—

0,190-0,266

x

0,045-0,068

(0,21-0,36) *

x

(0,19-0,26)

(0,16-0,30)

x

(0,30-0,36)

(0,10-0,15)

x

(0,19-0,24)

0,030-0,034

x

0,019-0,022

0,39-0,76

0,83-1,14

A. rufecta (Braun, 1901)

Travassos, 1944

12.385, 12.386

8.629

3,34-5,03

0,307-0,368

0,168-0,229

0,153-0,174

1:1,09-1:1,31

0,061-0,076

0,076-0,198

0,58-0,95
0,67-0,92

0,183-0,275

x

0,091-0,107

0,107-0,229

x

0,107-0,214

0,137-0,198

x

0,153-0,260

0,153-0,198

x

0,107-0,198

0,030-0,035

x

0,022-0,024

0,64-1,01

1,01-1,65

Attila rufus (Vieill.)*Guira guira* (Gm.)

Sinonímia	<i>A. rudentata</i> (Braun, 1901)
Autor	Travassos, 1944
Col. Helm. I.O.C. n.º	2,355, 2,356, 2,357, 2,358, 2,359
Autópsia	1,510
Comprimento	3,43-5,98
Largura	0,36-0,79
Ventosa oral	0,220-0,337
Acetábulo	0,190-0,307
Relação acetábulo/ventosa oral	1:1,10-1:1,23
Faringe	0,034-0,091
Esôfago	0,153-0,244
Cecos intestinais à extremidade posterior	0,64-0,98
Bôlsa do cirro	0,183-0,244 x 0,061-0,091
Testículo anterior	0,137-0,260 x 0,137-0,260
Testículo posterior	0,122-0,382 x 0,122-0,290
Ovário	0,122-0,382 x 0,107-0,168
Ovos	0,034-0,038 x 0,020-0,024
Campo vitelínico	0,58-1,25
Vitelinos à extremidade posterior	1,07-2,05
Hospedador	<i>Jacana spinosa jacana</i> (L.)

A. joiliei Schell, 1957

Schell, 1957

—

—

3,8-4,6

0,2-0,3

0,21-0,23

x

0,15-0,20

0,16-0,17

—

—

—

—

—

—

—

—

—

—

—

—

0,025

x

0,016-0,018

—

—

Falco sparverius L.*A. rufecta* (Braun, 1901)

Travassos, 1944

3,448, 3,449

2,533

4,05-4,42

0,46-0,58

0,221-0,251

0,167-0,229

1:1,10-1:1,32

0,061-0,068

0,183-0,214

0,55-0,76

0,244

x

0,061-0,091

(0,23-0,34)

x

(0,23-0,33)

(0,19-0,50)

x

(0,28)

(0,20-0,23)

x

(0,16-0,22)

0,034-0,038

x

0,019-0,022

0,76-1,82

1,07

Eurypyga helias (Pall.)

Sinonímia	<i>A. rufecta</i> (Braun, 1901)
Autor	Travassos, 1944
Col. Helm. I.O.C. n. ^o	12.394
Autópsia	6.119
Comprimento	4,2-5,8
Largura	0,61-0,67
Ventosa oral	0,21-0,28 x 0,22-0,24
Acetábulo	0,19-0,22
Relação acetábulo/ventosa oral	1:1,11-1:1,22
Faringe	0,068-0,076
Esôfago	0,076-0,152
Cecos intestinais à extremidade posterior	0,890 x 0,921
Bôlsa do cirro	0,190-0,266 x 0,083-0,091
Testículo anterior	0,319-0,532 x 0,182-0,342
Testículo posterior	0,380-0,456 x 0,167-0,456
Ovário	0,228-0,304 x 0,152-0,228
Ovos	0,034-0,038 x 0,019-0,022
Campo vitelínico	0,583-1,135
Vitelinos à extremidade posterior	1,535-2,056
Hospedador	<i>Jacana spinosa jacana</i> (L.)

A. rufa (Braun, 1901)

Travassos, 1944

12.389, 12.390, 12.391

8.371

5,8-7,3

0,70-1,04

0,311-0,392

0,273-0,299

1:1,06-1:1,20

0,083-0,106

0,190-0,350

1,16-1,99

0,266-0,319

X

0,053-0,121

(0,17-0,40)

X

(0,23-0,33)

(0,18-0,36)

X

(0,20-0,36)

(0,20-0,31)

X

(0,27-0,41)

0,030-0,038

X

0,019-0,022

1,16-1,84

1,99-2,76

A. rufa (Braun, 1901)

Travassos, 1944

12.042, 12.044

6.550, 7.424

6,14-7,77

0,70-0,85

0,336-0,382

0,250-0,336

1:1,08-1:1,30

0,107

0,290-0,351

1,07-1,30

0,260-0,336

X

0,091-0,107

(0,20-0,43)

X

(0,31-0,40)

(0,25-0,44)

X

(0,28-0,39)

(0,23-0,29)

X

(0,37-0,50)

0,030-0,041

X

0,019-0,023

1,41-2,06

1,93-1,99

Milvago chimachima chimachima (Vieill.)*Harpiprion caerulescens* (Vieill.)

Sinonímia	<i>A. butensis</i> Petri, 1942
Autor	Travassos, 1944
Col. Helm. I.O.C. n. ^o	—
Autópsia	—
Comprimento	7,3
Largura	0,77
Ventosa oral	0,216
Acetábulo	0,211-0,216
Relação acetábulo/ventosa oral	1:1,01
Faringe	0,081 x 0,085
Esôfago	0,185-0,215
Cecos intestinais à extremidade posterior	—
Bôlsa do cirro	0,225 x 0,060
Testículo anterior	0,230 x 0,247-0,385
Testículo posterior	0,231 x 0,354-0,370
Ovário	0,123-0,124 x 0,277-0,278
Ovos	0,037-0,042 x 0,021-0,025
Campo vitelínico	0,77-2,0
Vitelinos à extremidade posterior	—
Hospedador	<i>Buteo galapagoensis</i> (Gould)

Distribuição geográfica Galápagos

A. rufalecta (Braun, 1901)

Travassos, 1944

13.908, 13.909, 13.910

9.328

7.8-0.3

0.9-1.1

0.290-0.382

0.290-0.382

1:1-1:1,17

0,122-0,137

0,244-0,351

1.53-2,05
1,44-1,680,351-0,566
x
0,1070,458-0,729
x
0,413-0,6880,566-0,795
x
0,382-0,535(0,23-0,53)
x
(0,36-0,51)0,030-0,034
x
0,020-0,022

1,59-2,05

1,96-2,45

A. pricei Mc Intosh, 1937

Travassos, 1944

—

—

8

0,7

0,32
x
0,27

0,23

1:1,28

0,10

0,30

—

0,28
x
0,120,23
x
0,130,28
x
0,170,24
x
0,280,032
x
0,019

1,85

—

Cariama cristata (L.)*Psophia viridis* Spix

Sinonímia	<i>A. heterolecithodes</i> (Braun, 1899)
Autor	Travassos, 1944
Col. Helm. I.O.C. n. ^o	—
Autópsia	—
Comprimento	8-9
Largura	1,5-2
Ventosa oral	0,46
Acetábulo	0,37
Relação acetábulo/ventosa oral	1:1,24
Faringe	0,09
Esôfago	0,39-0,58
Cecos intestinais à extremidade posterior	0,75
Bôlsa do cirro	0,29-0,33
Testículo anterior	0,35-0,40
Testículo posterior	0,35-0,40
Ovário	0,36 x 0,15-0,17
Ovos	0,030-0,040 x 0,019-0,023
Campo vitelínico	—
Vitelinos à extremidade posterior	—
Hospedador	<i>Porphyrio porphyrio</i> (L.), <i>Gallinula chloropus</i> (L.), <i>Phyllopezus africanus</i> (Gm.), <i>Himantopus himantopus</i> (L.)
Distribuição geográfica	Madagascar, Europa e Egito

A. rufecta (Braun, 1901)

Travassos, 1944

12,392	—
6,938	—
9,21-9,41	9,8
1,01-1,13	1,5
0,351-0,375	0,45 x 0,55
0,321-0,351	0,42
1:1-1:1,6	1:1,19
0,107	0,12
0,367-0,382	0,30
0,84	—
0,382-0,397	0,40
x	x
0,107	0,14
(0,32)	0,60
x	x
(0,51)	0,60
(0,26)	0,55
x	x
(0,52)	0,93
(0,32)	0,68
x	x
(0,71)	0,30
0,038	0,032
x	x
0,024-0,026	0,020
1,19-1,33	2,6
1,53-1,65	—

A. wehri Mc Intosh, 1937

Travassos, 1944

Speotyto cunicularia grallaria (Temm.)*Pediocetes phasianellus campestris* Ridgw.

Sinonímia	<i>A. parkeri</i> Vigueras, 1942
Autor	Travassos, 1944
Col. Helm. I.O.C. n. ^o	—
Autópsia	—
Comprimento	4,2
Largura	0,95
Ventosa oral	0,175 x 0,195
Acetábulo	0,170
Relação acetábulo/ventosa oral	1:1,08
Faringe	0,060
Esôfago	0,094
Cecos intestinais à extremidade posterior	—
Bôlsa do cirro	—
Testículo anterior	0,400 x 0,235
Testículo posterior	0,400 x 0,235
Ovário	0,280 x 0,175
Ovos	0,033 x 0,020
Campo vitelínico	0,84
Vitelinos à extremidade posterior	0,95
Hospedador	<i>Artibeus jamaicensis parvipes</i> Rehm.

A. heterolecithodes (Braum, 1899)

Presente trabalho

17.503, 17.504, 17.505, 17.509

6,50-9,45

1,01-1,44

0,31-0,45

x
0,26-0,46

0,26-0,33

x
0,31-0,40

1:0,94-1:1,35

0,061-0,066

x
0,078-0,116

0,21-0,56

0,87-1,01

0,25-0,35

x
0,10-0,15

0,33-0,40

x
0,47-0,67

0,30-0,43

x
0,43-0,60

0,13-0,23

x
0,40-0,57

0,029-0,042

x
0,021-0,025

1,17-2,18

2,01-2,95

A. foxi Goldberger & Crane, 1911

Travassos, 1944

—

—

6,6-10

0,50-0,75

0,24-0,29

x
0,21-0,26

0,20-0,23

x
0,18-0,21

1:1,20-1:1,24

0,08-0,10

0,18-0,34

—

0,20-0,27

x
0,04-0,10

0,43-0,60

x
0,36-0,50

0,43-0,60

x
0,36-0,50

0,27-0,37

x
0,23-0,40

0,032-0,034

x
0,020

0,027

x
0,019

—

—

Procyon cancrivorus Cuv.*Cebus capucinus* (L.), *Cebus apella* (L.)

Sinonímia	<i>A. heterolecithodes</i> (Braun, 1899)
Autor	Presente trabalho
Col. Helm. I.O.C. n. ^o	26.968
Autópsia	13.645
Comprimento	7,07-9,61
Largura	1,17-1,47
Ventosa oral	0,33-0,35 x 0,28-0,38
Acetáculo	0,30-0,33 x 0,31-0,35
Relação acetáculo/ventosa oral	1:0,94-1:1,11
Faringe	0,083-0,100 x 0,100-0,116
Esôfago	0,28-0,65
Cecos intestinais à extremidade posterior	1,14-2,51
Bôlsa do cirro	0,31-0,50 x 0,13-0,18
Testículo anterior	0,60-0,80 x 0,74-0,87
Testículo posterior	0,67-0,87 x 0,80-0,94
Ovário	0,27-0,37 x 0,37-0,54
Ovos	0,027-0,036 x 0,019-0,025
Campo vitelínico	1,47-2,31
Vitelinos à extremidade posterior	2,04-3,22
Hospedador	<i>Chiropotes albinasa</i> (I. Geoff. & Dev.)